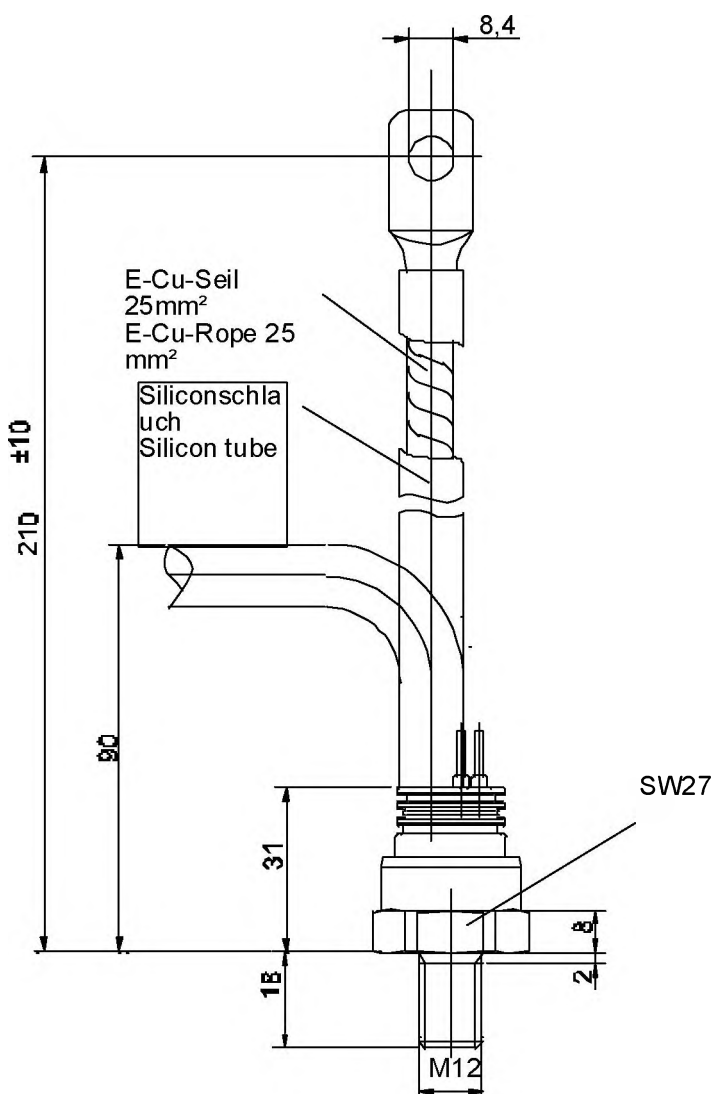


## Marketing Information D 121 K



Typ Type	Schalsymbol Circuit symbol	Kathode Cathode	Anode Anode	Schutzschlauch Prot. flex. tubing
D121N		Seil Rope	Gewinde Thread	rot red
D212K		Gewinde Thread	Seil Rope	blau blue

Elektrische Eigenschaften						
Electrical properties						
Höchstzulässige Werte						
Maximum rated values						
Periodische Spitzensperrspannung	repetitive peak reverse voltage	$t_{vj} = -40^{\circ}\text{C} \dots t_{vj\max}$	$V_{RRM}$	800, 1200, 1400	V	
				1800, 2000	V	
Stoßspitzensperrspannung	non-repetitive peak reverse voltage	$t_{vj} = +25^{\circ}\text{C} \dots t_{vj\max}$	$V_{RSM} = V_{RRM}$	+ 100	V	
Durchlaßstrom-Grenzeffektivwert	RMS forward current		$I_{FRMSM}$	330	A	
Dauergrenzstrom	mean forward current	$t_c = 113^{\circ}\text{C}$ $t_c = 25^{\circ}\text{C}$	$I_{FAVM}$	120	A	
Stoßstrom-Grenzwert	surge forward current	$t_{vj} = 25^{\circ}\text{C}, t_p = 10 \text{ ms}$ $t_{vj} = t_{vj\max}, t_p = 10 \text{ ms}$	$I_{FSM}$	210	A	
Grenzlastintegral	$I^2t$ -value	$t_{vj} = 25^{\circ}\text{C}, t_p = 10 \text{ ms}$ $t_{vj} = t_{vj\max}, t_p = 10 \text{ ms}$	$I^2t$	2,85	kA	
				2,4	kA	
				40,6	A <sup>2</sup> s	
				28,8	A <sup>2</sup> s	
Charakteristische Werte						
Characteristic values						
Durchlaßspannung	on-state voltage	$t_{vj} = t_{vj\max}, I_F = 650 \text{ A}$	$V_T$	max.	2,04	V
Schleusenspannung	threshold voltage	$t_{vj} = t_{vj\max}$	$V_{T(TO)}$		0,72	V
Ersatzwiderstand	slope resistance	$t_{vj} = t_{vj\max}$	$r_T$		1,9	mΩ
Sperrstrom	reverse current	$t_{vj} = t_{vj\max}, V_R = V_{RRM}$	$i_R$	max.	20	mA
Thermische Eigenschaften						
Thermal properties						
Innerer Widerstand	thermal resistance, junction to case	$\Theta = 180^{\circ} \text{ sin DC}$	$R_{thJC}$	max.	0,434	°C/W
				max.	0,420	°C/W
Übergangs-Wärmewiderstand	thermal resistance,case to heatsink		$R_{thCK}$	max.	0,04	°C/W
Höchstzul. Sperrsichttemperatur	max. junction temperature		$t_{vj\max}$		180	°C
Betriebstemperatur	operating temperature		$t_{c\ op}$		-40...+180	°C
Lagertemperatur	storage temperature		$t_{stg}$		-40...+180	°C
Mechanische Eigenschaften						
Mechanical properties						
Si-Element mit Druckkontakt	Si-pellet with pressure contact	$\emptyset = 15 \text{ mm}$				
Anzugsdrehmoment	tightening torque	Gehäuseform/case design B	M1		20	Nm
Gewicht	weight		G	typ.	175	g
Kriechstrecke	creepage distance				12	mm
Feuchteklaasse	humidity classification	DIN 40040				C
Schwingfestigkeit	vibration resistance	$f = 50 \text{ Hz}$			50	m/s <sup>2</sup>
Maßbild	outline					Seite/page
Polarität	polarity					Kathode=Gehäuse/case

# D 121 K

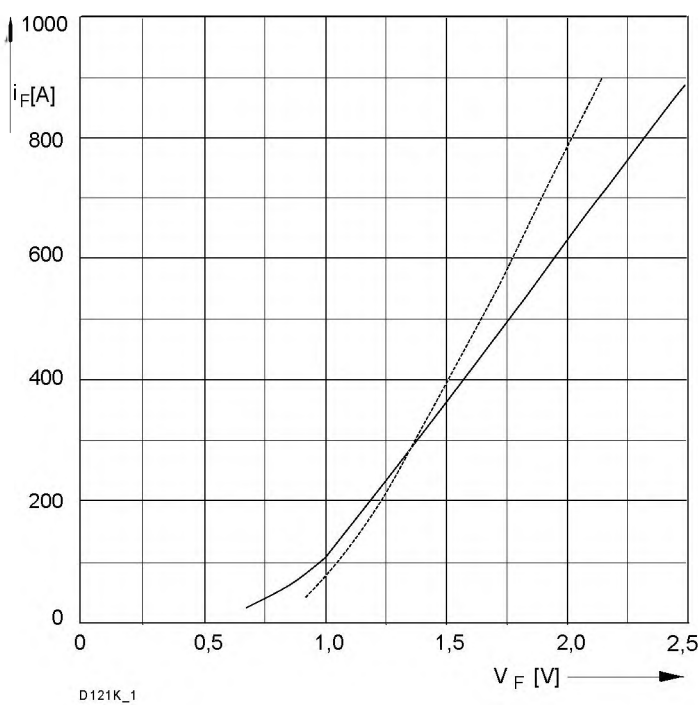


Bild / Fig. 1  
Grenzdurchlaßkennlinie  
Limiting forward characteristic  $i_F = f(V_F)$

—  $t_{Vi} = \text{---}^\circ\text{C}$   
—  $t_{Vi} = 25^\circ\text{C}$

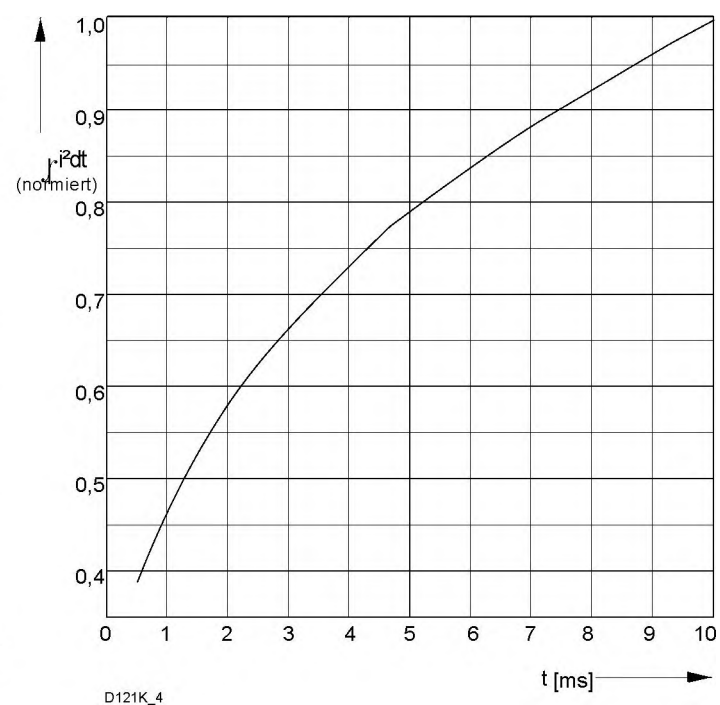


Bild / Fig. 2  
Normiertes Grenzlastintegral / Normalized  $i^2 t$   
 $\int i^2 dt = f(t)$

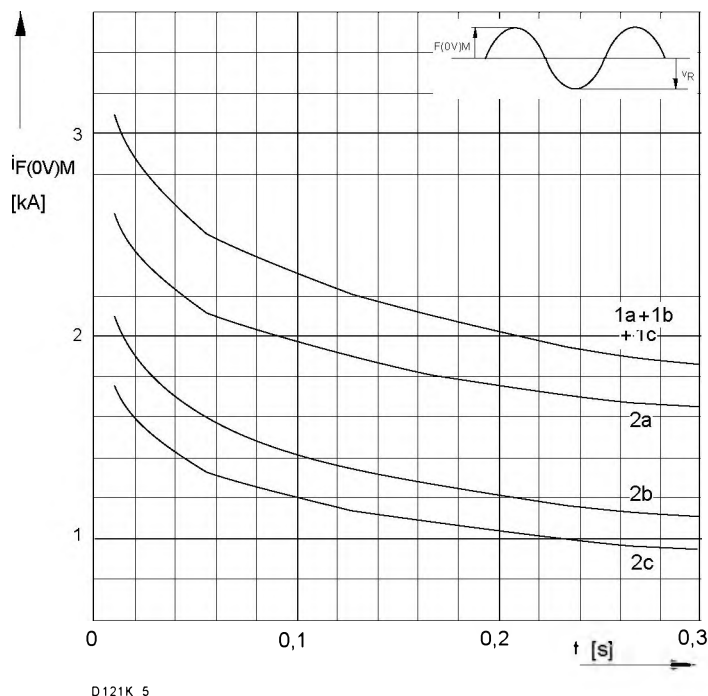


Bild / Fig. 3  
Grenzstrom / Maximum overload forward current  $i_F(0V)M = f(t)$

1 -  $|I_{FAV(vor)}| = 0 \text{ A}; \quad t_i = t_c = 25^\circ\text{C}$   
2 -  $|I_{FAV(vor)}| = \text{---} \text{ A}; \quad t_i = \text{---}^\circ\text{C}; \quad t_c = \text{---}^\circ\text{C}$

a -  $v_R \leq 50 \text{ V}$   
b -  $v_R = V_{RRM}$   
c -  $v_R = 0,8 V_{RRM}$

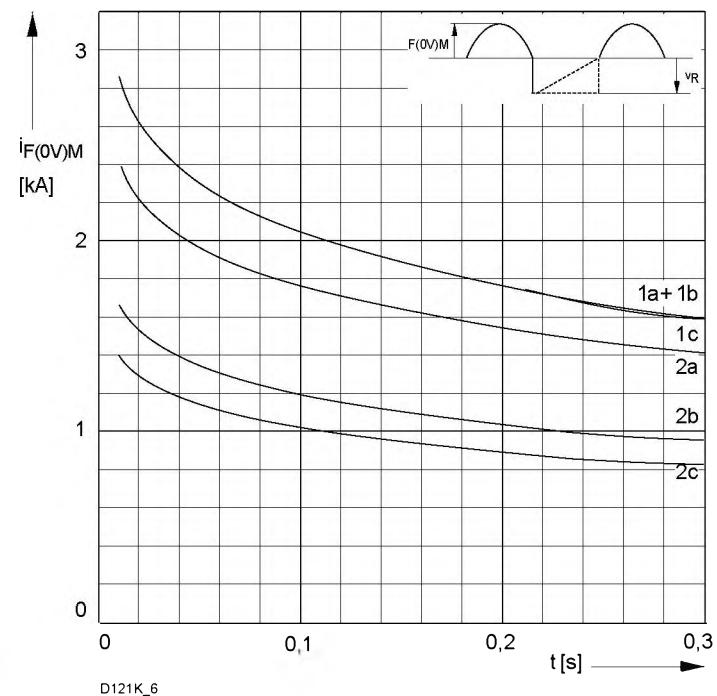


Bild / Fig. 4  
Grenzstrom / Maximum overload forward current  $i_F(0V)M = f(t)$

1 -  $|I_{FAV(vor)}| = 0 \text{ A}; \quad t_i = t_c = 25^\circ\text{C}$   
2 -  $|I_{FAV(vor)}| = \text{---} \text{ A}; \quad t_i = \text{---}^\circ\text{C}; \quad t_c = \text{---}^\circ\text{C}$

a -  $v_R \leq 50 \text{ V}$   
b -  $v_R = 0,5 V_{RRM}$   
c -  $v_R = 0,8 V_{RRM}$

## D 121 K

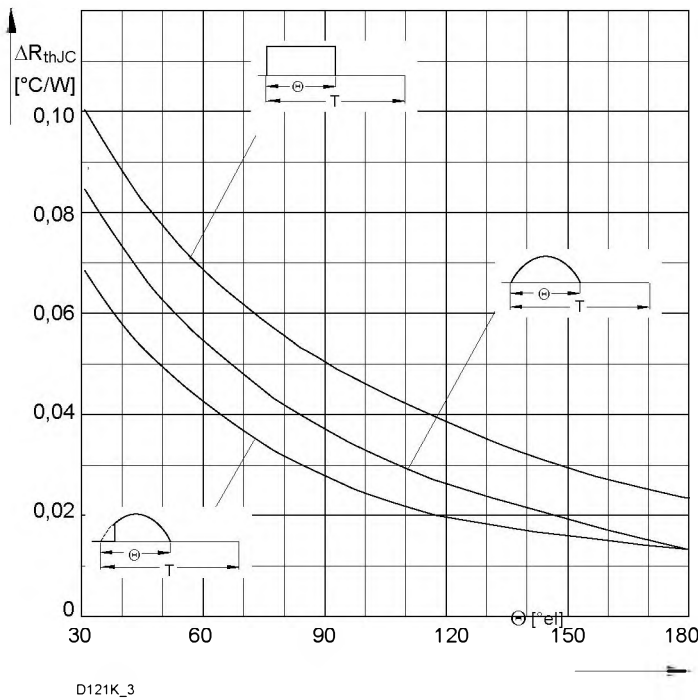


Bild / Fig. 5  
Differenz zwischen den Wärmewiderständen  
für Pulsstrom und DC  
Difference between the values of thermal resistance for  
pulse current and DC  
Parameter: Stromkurvenform / Current waveform

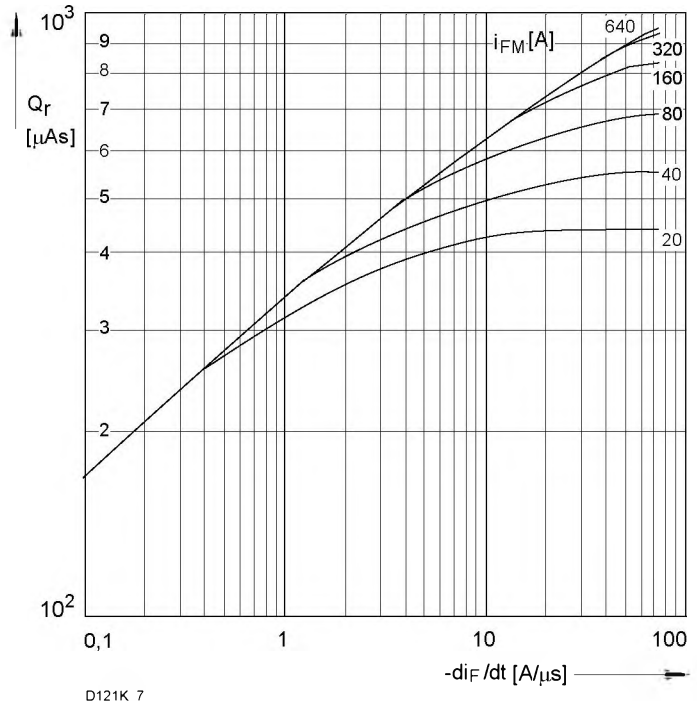


Bild / Fig. 6  
Sperrverzögerungsladung / Recovered charge  $Q = f(-di/dt)$   
 $t_{vj} = t_{vj\max}$ ;  $V_R \leq 0,5 V_{RRM}$ ;  $V_{RM} = 0,8 V_{RRM}$   
Beschaltung / Snubber:  $C = \mu F$ ;  $R = \Omega$   
Parameter: Durchlaßstrom / Forward current  $i_F$

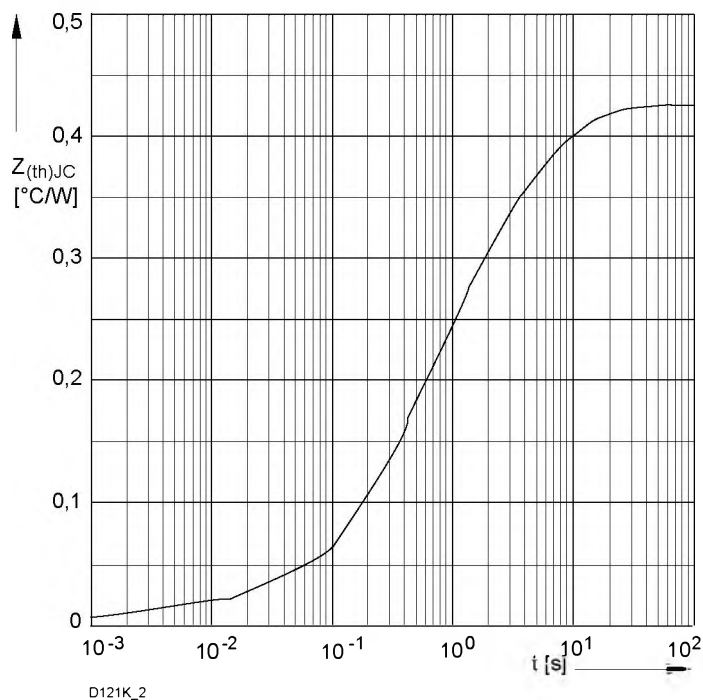


Bild / Fig. 7  
Transienter innerer Wärmewiderstand  
Transient thermal impedance  $Z_{thJC} = f(t)$ , DC  
1 - Beidseitige Kühlung / Two-sided cooling  
2 - Anodenseitige Kühlung / Anode-sided cooling  
3 - Kathodenseitige Kühlung / Cathode-sided cooling

Analytische Elemente des transienten Wärmewiderstandes  $Z_{thJC}$  für DC  
Analytical elements of transient thermal impedance  $Z_{thJC}$  for DC

Pos. n	1	2	3	4	5	6	7
$R_{thn}$ °C/W	0,000114	0,003146	0,00934	0,0242	0,0762	0,195	0,112
$\tau_n$ [s]	0,000018	0,000282	0,00282	0,0132	0,265	1,2	7,57

Analytische Funktion / Analytical function:

$$Z_{thJC} = \sum_{n=1}^{n_{\max}} R_{thn} (1 - \exp(-t/\tau_n))$$